
**Évaluation des performances des
dispositifs de surveillance de l'air en
continu —**

Partie 1:
**Dispositifs de surveillance de
l'air basés sur des techniques de
prélèvement avec accumulation**

iTeh STANDARD PREVIEW
(standards.iteh.ai)

Evaluating the performance of continuous air monitors —

Part 1: Air monitors based on accumulation sampling techniques

<https://standards.iteh.ai/catalog/standards/sist/f60f6309-ccc6-4c03-b613-125f561d543f/iso-tr-22930-1-2020>



iTeh STANDARD PREVIEW
(standards.iteh.ai)

[ISO/TR 22930-1:2020](https://standards.iteh.ai/catalog/standards/sist/f60f6309-ccc6-4c03-b613-125f561d543f/iso-tr-22930-1-2020)
<https://standards.iteh.ai/catalog/standards/sist/f60f6309-ccc6-4c03-b613-125f561d543f/iso-tr-22930-1-2020>



DOCUMENT PROTÉGÉ PAR COPYRIGHT

© ISO 2020

Tous droits réservés. Sauf prescription différente ou nécessité dans le contexte de sa mise en œuvre, aucune partie de cette publication ne peut être reproduite ni utilisée sous quelque forme que ce soit et par aucun procédé, électronique ou mécanique, y compris la photocopie, ou la diffusion sur l'internet ou sur un intranet, sans autorisation écrite préalable. Une autorisation peut être demandée à l'ISO à l'adresse ci-après ou au comité membre de l'ISO dans le pays du demandeur.

ISO copyright office
Case postale 401 • Ch. de Blandonnet 8
CH-1214 Vernier, Genève
Tél.: +41 22 749 01 11
E-mail: copyright@iso.org
Web: www.iso.org

Publié en Suisse

Sommaire

Page

Avant-propos	iv
Introduction	v
1 Domaine d'application	1
2 Références normatives	2
3 Termes et définitions	2
4 Symboles	5
5 Principe de mesure	6
6 Dispositif de surveillance à support filtrant fixe	7
6.1 Remarque préliminaire.....	7
6.2 Étude du comportement dynamique.....	8
6.2.1 Généralités.....	8
6.2.2 Modèle d'évaluation de l'activité volumique pour les demi-vies courtes.....	9
6.2.3 Modèle d'évaluation de l'activité volumique des radionucléides à demi-vie longue.....	12
6.2.4 Modèle d'évaluation de l'activité volumique des radionucléides à demi-vie intermédiaire.....	15
6.2.5 Comparaison des trois modèles d'évaluation pour un support filtrant fixe.....	16
7 Dispositif de surveillance à support filtrant déroulant	18
7.1 Remarque préliminaire.....	18
7.2 Étude du comportement dynamique.....	18
7.3 Modèle d'évaluation de l'activité volumique.....	21
8 Évaluation des limites caractéristiques	24
8.1 Généralités.....	24
8.2 Modèle d'évaluation pour support filtrant fixe.....	25
8.2.1 Généralités.....	25
8.2.2 Définition du modèle.....	25
8.2.3 Incertitude-type.....	26
8.2.4 Seuil de décision.....	26
8.2.5 Limite de détection.....	28
8.2.6 Limites de l'intervalle élargi.....	28
8.3 Modèle d'évaluation pour support filtrant déroulant.....	29
8.3.1 Définition du mesurande.....	29
8.3.2 Incertitude-type.....	30
8.3.3 Seuil de décision.....	30
8.3.4 Limite de détection.....	31
8.3.5 Limites de l'intervalle élargi.....	31
9 Paramétrage des alarmes, activité volumique minimale détectable et EMP	31
Annexe A (informative) Exemple numérique de mesure de l'activité d'émission bêta globale sur un filtre fixe	34
Annexe B (informative) Exemple numérique de mesure de l'activité d'émission alpha globale sur un filtre déroulant	39
Annexe C (informative) Exemple numérique d'un mesurage par spectrométrie gamma de l'activité volumique de l'iode 131 sur une cartouche au charbon fixe	43
Annexe D (informative) Détermination de l'activité volumique détectable et de son temps de réponse associé en utilisant une méthode de régression linéaire et de test statistique	46
Bibliographie	54

Avant-propos

L'ISO (Organisation internationale de normalisation) est une fédération mondiale d'organismes nationaux de normalisation (comités membres de l'ISO). L'élaboration des Normes internationales est en général confiée aux comités techniques de l'ISO. Chaque comité membre intéressé par une étude a le droit de faire partie du comité technique créé à cet effet. Les organisations internationales, gouvernementales et non gouvernementales, en liaison avec l'ISO participent également aux travaux. L'ISO collabore étroitement avec la Commission électrotechnique internationale (IEC) en ce qui concerne la normalisation électrotechnique.

Les procédures utilisées pour élaborer le présent document et celles destinées à sa mise à jour sont décrites dans les Directives ISO/IEC, Partie 1. Il convient, en particulier de prendre note des différents critères d'approbation requis pour les différents types de documents ISO. Le présent document a été rédigé conformément aux règles de rédaction données dans les Directives ISO/IEC, Partie 2 (voir www.iso.org/directives).

L'attention est attirée sur le fait que certains des éléments du présent document peuvent faire l'objet de droits de propriété intellectuelle ou de droits analogues. L'ISO ne saurait être tenue pour responsable de ne pas avoir identifié de tels droits de propriété et averti de leur existence. Les détails concernant les références aux droits de propriété intellectuelle ou autres droits analogues identifiés lors de l'élaboration du document sont indiqués dans l'Introduction et/ou dans la liste des déclarations de brevets reçues par l'ISO (voir www.iso.org/brevets).

Les appellations commerciales éventuellement mentionnées dans le présent document sont données pour information, par souci de commodité, à l'intention des utilisateurs et ne sauraient constituer un engagement.

Pour une explication de la nature volontaire des normes, la signification des termes et expressions spécifiques de l'ISO liés à l'évaluation de la conformité, ou pour toute information au sujet de l'adhésion de l'ISO aux principes de l'Organisation mondiale du commerce (OMC) concernant les obstacles techniques au commerce (OTC), voir le lien suivant: www.iso.org/iso/fr/avant-propos.html.

Le présent document a été élaboré par le comité technique ISO/TC 85, *Énergie nucléaire, technologies nucléaires, et radioprotection*, sous-comité SC 2, *Radioprotection*.

Une liste de toutes les parties de la série ISO/TR 22930 se trouve sur le site Web de l'ISO.

Il convient que l'utilisateur adresse tout retour d'information ou toute question concernant le présent document à l'organisme national de normalisation de son pays. Une liste exhaustive desdits organismes se trouve à l'adresse www.iso.org/fr/members.html.

Introduction

L'échantillonnage et la surveillance de l'activité volumique dans l'air des lieux de travail sont d'une importance cruciale pour préserver la sécurité des travailleurs dans les lieux où des substances radioactives dispersables sont utilisées.

En général, la première indication d'un événement de dispersion de substances radioactives est donnée par un dispositif de surveillance de l'air en continu (CAM) et ses niveaux d'alarme associés. La réponse d'un CAM est généralement décalée dans le temps par rapport à la situation de rejet réelle.

La connaissance de plusieurs facteurs est nécessaire pour interpréter la réponse d'un CAM et sélectionner le type de CAM adapté et ses paramètres de fonctionnement.

Le rôle du spécialiste en radioprotection est de choisir le CAM approprié, de déterminer l'instant où le rejet effectif de substances radioactives se produit, d'interpréter les résultats de mesure et de mener une action corrective adaptée à la sévérité du rejet.

L'objectif de la série ISO/TR 22930 est d'aider le spécialiste en radioprotection à évaluer les performances d'un CAM.

La série ISO/TR 22930 décrit les facteurs et les paramètres de fonctionnement ainsi que leur impact sur la réponse d'un CAM.

Le présent document traite des systèmes de surveillance basés sur des techniques de prélèvement avec accumulation.

iTeh STANDARD PREVIEW
(standards.iteh.ai)

[ISO/TR 22930-1:2020](https://standards.iteh.ai/catalog/standards/sist/f60f6309-ccc6-4c03-b613-125f561d543f/iso-tr-22930-1-2020)

<https://standards.iteh.ai/catalog/standards/sist/f60f6309-ccc6-4c03-b613-125f561d543f/iso-tr-22930-1-2020>

iTeh STANDARD PREVIEW
(standards.iteh.ai)

[ISO/TR 22930-1:2020](#)

<https://standards.iteh.ai/catalog/standards/sist/f60f6309-ccc6-4c03-b613-125f561d543f/iso-tr-22930-1-2020>

Évaluation des performances des dispositifs de surveillance de l'air en continu —

Partie 1:

Dispositifs de surveillance de l'air basés sur des techniques de prélèvement avec accumulation

1 Domaine d'application

L'utilisation d'un dispositif de surveillance de l'air en continu (CAM) est principalement motivée par la nécessité d'être alerté rapidement et de la façon la plus précise possible avec un taux acceptable de fausses alarmes lorsqu'une valeur d'activité volumique significative est dépassée, afin de prendre des mesures appropriées pour réduire l'exposition des personnes concernées.

Les performances de ce CAM dépendent non seulement de l'aspect métrologique caractérisé par le seuil de décision, la limite de détection et les incertitudes de mesure, mais aussi de sa capacité dynamique caractérisée par son temps de réponse ainsi que de l'activité volumique minimale détectable correspondant à un taux de fausses alarmes acceptable.

La situation idéale serait d'avoir une activité volumique minimale détectable aussi faible que possible et un temps de réponse associé très court, mais ces deux critères sont malheureusement en opposition. Il est donc important que le CAM et le choix des paramètres de réglage et des niveaux d'alarme soient alignés sur les objectifs de la radioprotection.

La connaissance de plusieurs facteurs est nécessaire pour interpréter la réponse d'un CAM et sélectionner le type de CAM adapté et ses paramètres de fonctionnement.

Parmi ces facteurs, il est important de connaître les demi-vies des radionucléides concernés, afin de sélectionner le système de détection approprié et son modèle d'évaluation associé.

Les CAM qui mettent en œuvre des techniques de prélèvement avec accumulation sont généralement de deux types:

- a) à support filtrant fixe;
- b) à support filtrant déroulant.

Le présent document décrit tout d'abord la théorie de fonctionnement de chaque type de CAM, à savoir:

- les différents modèles d'évaluation en fonction de la demi-vie (courte ou longue) des radionucléides;
- le comportement dynamique et la détermination du temps de réponse.

Dans la majorité des cas, un CAM est utilisé dans les situations impliquant des radionucléides à radiotoxicité importante (faible valeur LAI), qui ont généralement des demi-vies longues.

Le présent document décrit ensuite la détermination des limites caractéristiques (seuil de décision, limite de détection, limites de l'intervalle élargi) d'un CAM, en utilisant des modèles d'évaluation de demi-vies longues.

Il suggère enfin une méthode permettant de déterminer l'activité volumique minimale détectable et le paramétrage des alarmes.

Les annexes du présent document présentent des exemples actuels de données de CAM qui illustrent la quantification des performances d'un CAM en déterminant le temps de réponse, les limites caractéristiques, l'activité volumique minimale détectable et le paramétrage des alarmes.

2 Références normatives

Les documents suivants sont cités dans le texte de sorte qu'ils constituent, pour tout ou partie de leur contenu, des exigences du présent document. Pour les références datées, seule l'édition citée s'applique. Pour les références non datées, la dernière édition du document de référence s'applique (y compris les éventuels amendements).

ISO 16639, *Surveillance de l'activité volumique des substances radioactives dans l'air des lieux de travail des installations nucléaires*

IEC 60761-1, *Équipements de surveillance en continu de la radioactivité dans les effluents gazeux — Partie 1: Exigences générales*

ISO 11929-1, *Détermination des limites caractéristiques (seuil de décision, limite de détection et extrémités de l'intervalle élargi) pour mesurages de rayonnements ionisants — Principes fondamentaux et applications — Partie 1: Applications élémentaires*

3 Termes et définitions

Pour les besoins du présent document, les termes et définitions de l'ISO 11929-1, l'ISO 16639, l'IEC 60761-1 ainsi que les suivants, s'appliquent.

L'ISO et l'IEC tiennent à jour des bases de données terminologiques destinées à être utilisées en normalisation, consultables aux adresses suivantes:

- ISO Online browsing platform: disponible à l'adresse <https://www.iso.org/obp>;
- IEC Electropedia: disponible à l'adresse <http://www.electropedia.org/>.

3.1 limite annuelle d'incorporation LAI

limite sur une année dérivée de la quantité de substances (en Bq) radioactives absorbées par le corps d'un travailleur adulte par inhalation ou ingestion

[SOURCE: ISO 16639:2017, 3.7]

3.2 dispositif de surveillance de l'air en continu CAM

instrument qui surveille en continu l'activité volumique dans l'air sur une base de temps quasi réelle

[SOURCE: ISO 16639:2017, 3.10]

3.3 seuil de décision

valeur de l'estimateur du mesurande telle que, quand le résultat d'une mesure réelle utilisant une procédure de mesure donnée d'un mesurande quantifiant le phénomène physique lui est supérieur, on décide que le phénomène physique est présent

Note 1 à l'article: Le seuil de décision est défini de manière que, dans le cas où le résultat du mesurage, y , dépasse le seuil de décision, y^* , la probabilité d'une décision erronée, c'est-à-dire que la valeur vraie du mesurande ne soit pas nulle alors qu'elle l'est en réalité, est inférieure ou égale à la probabilité choisie, α .

Note 2 à l'article: Si le résultat, y , est inférieur au seuil de décision, y^* , on décide de conclure que le résultat ne peut être attribué à l'effet physique. Néanmoins il ne peut pas être conclu que cet effet est absent.

[SOURCE: ISO 11929-1:2019, 3.12]

3.4 limite dérivée de contamination atmosphérique LDCA

concentration de radionucléides dans l'air inhalés sur une période d'une année de travail, qui correspond à l'incorporation d'une LAI de ce radionucléide

Note 1 à l'article: La LDCA est calculée en divisant la LAI par le volume d'air respiré par un homme de référence effectuant un travail d'activité modérée sur une année de travail (en Bq m^{-3}).

Note 2 à l'article: Les valeurs des paramètres recommandées par la Commission Internationale de la Protection Radiologique pour les LDCA calculées sont pour un débit respiratoire de $1,2 \text{ m}^3 \cdot \text{h}^{-1}$ et une année de travail comptant 2 000 h (c'est-à-dire $2\,400 \text{ m}^3$).

Note 3 à l'article: La concentration d'air peut être exprimée en termes de nombre de LDCA. Par exemple, si la LDCA d'un radionucléide donné et de forme particulière est égale à $0,2 \text{ Bq m}^{-3}$ et si la concentration observée est de $1,0 \text{ Bq m}^{-3}$, alors la concentration observée peut également être exprimée comme étant égale à 5 LDCA (c'est-à-dire 1,0 divisé par 0,2).

Note 4 à l'article: La concentration d'air dérivée-heure (LDCA-h) est une exposition intégrée et est le produit de la concentration d'une substance radioactive dans l'air (exprimée sous forme de fraction ou de multiple de LDCA pour chaque radionucléide) et la durée d'exposition à ce radionucléide, en heures.

[SOURCE: ISO 16639:2017, 3.12]

3.5 niveau d'alarme de détection S0

valeur d'activité volumique intégrée dans le temps ou d'activité volumique correspondant à un taux acceptable de fausses alarmes

Note 1 à l'article: Lorsque S0 augmente, le taux de fausses alarmes diminue.

Note 2 à l'article: D'autres valeurs de niveau d'alarme supérieures à S0 peuvent également être paramétrées pour des raisons opérationnelles.

3.6 limite de détection

plus petite valeur vraie du mesurande qui garantit une probabilité spécifiée qu'il soit détectable par la méthode de mesure

Note 1 à l'article: Avec le seuil de décision conforme à 3.3, la limite de détection est la plus petite valeur vraie du mesurande pour laquelle la probabilité de décider de façon erronée que la valeur vraie du mesurande est nulle est égale à une valeur spécifiée, β , quand, en réalité, la valeur vraie du mesurande n'est pas nulle. La probabilité qu'il soit détectable est par conséquent de $(1-\beta)$.

Note 2 à l'article: Les termes «limite de détection» et «seuil de décision» sont utilisés de façon ambiguë dans différentes normes (par exemple, les normes liées à l'analyse chimique ou à l'assurance de la qualité). En cas de référence à ces termes, on doit impérativement préciser la norme à laquelle ils se rapportent.

[SOURCE: ISO 11929-1:2019, 3.13]

3.7 limites de l'intervalle élargi

valeurs qui définissent un intervalle élargi

Note 1 à l'article: Les limites sont calculées dans la série ISO 11929 de manière à contenir la valeur vraie du mesurande avec une probabilité spécifiée $(1-\gamma)$.

Note 2 à l'article: La définition d'un intervalle élargi est ambiguë en l'absence d'informations complémentaires. Dans la présente norme, on utilise deux alternatives, à savoir l'intervalle élargi probabilistiquement symétrique et l'intervalle élargi le plus court.

Note 3 à l'article: L'intervalle élargi est défini dans l'ISO 11929-1:2019, 3.4, comme étant l'intervalle contenant l'ensemble des valeurs vraies d'un mesurande avec une probabilité déterminée, fondé sur l'information disponible.

[SOURCE: ISO 11929-1:2019, 3.16 modifiée – La Note 3 à l'article a été ajoutée]

3.8

mesurande

grandeur que l'on veut mesurer

[SOURCE: ISO 11929-1:2019, 3.3]

3.9

activité volumique minimale détectable

mesurages de l'activité volumique intégrée dans le temps ou de l'activité volumique et leurs intervalles élargis associés pour une probabilité donnée $(1-\gamma)$ correspondant au niveau d'alarme de détection S_0

3.10

modèle d'évaluation

ensemble de relations mathématiques entre toutes les grandeurs mesurées et les autres grandeurs impliquées dans l'évaluation de la mesure

[SOURCE: ISO 11929-1:2019, 3.11]

3.11

exposition manquée potentielle EMP

activité volumique intégrée dans le temps ou activité volumique maximale, selon le cas, qu'il est potentiellement acceptable de manquer

Note 1 à l'article: La valeur EMP est définie selon les principes ALARA/ALARP, et inférieure aux limites légales.

Note 2 à l'article: Un niveau d'alarme S_1 est paramétré afin de fournir une alerte dès qu'un mesurage est susceptible de dépasser la valeur EMP. L'EMP est alors la limite supérieure de l'intervalle élargi pour une probabilité donnée $(1-\gamma)$ des mesurages de l'activité volumique intégrée dans le temps ou de l'activité volumique correspondant à S_1 .

[SOURCE: ISO 16639:2017, 3.18]

3.12

temps de réponse

temps nécessaire, après une variation brusque de la grandeur à mesurer, pour que la variation du signal de sortie atteigne pour la première fois un pourcentage donné, en général 90 %, de sa valeur finale

[SOURCE: IEC 60761-1:2002, 3.15]

Note 1 à l'article: Le temps de réponse intrinsèque est lié au principe de mesure et à son modèle d'évaluation associé d'un détecteur idéal (sans tenir compte du temps de comptage du détecteur).

3.13

temps de transit

dans le cas d'un filtre déroulant, durée correspondant au défilement complet du filtre devant le détecteur en considérant que ce dernier voit la totalité de la surface de dépôt

Note 1 à l'article: Si v est la vitesse de déroulement du filtre et L l'ouverture du détecteur ou la longueur de la surface de dépôt en considérant une largeur w_D constante, le temps de transit est alors $t_T = \frac{L}{v}$.

4 Symboles

$a(t)$	Activité déposée sur le support filtrant à un instant t , en Bq
b_{LR}	Pente de la droite de régression linéaire obtenue à partir d'un ensemble de n points successifs (i, y_i) , y_i étant le $i^{\text{ème}}$ mesurage de l'impulsion de comptage ($i = 1, \dots, n$), en s^{-2}
C_{LR}	Coefficient de corrélation de la droite résultant de la régression linéaire, sans dimension
C_{ST}	Coefficient de Student, sans dimension
c	Activité volumique, en $Bq \cdot m^{-3}$
c^*	Seuil de décision de l'activité volumique, en $Bq \cdot m^{-3}$
$c^\#$	Limite de détection de l'activité volumique, en $Bq \cdot m^{-3}$
c^\triangleleft	Limite inférieure de l'intervalle élargi de l'activité volumique pour une probabilité donnée $(1-\gamma)$, en $Bq \cdot m^{-3}$
c^\triangleright	Limite supérieure de l'intervalle élargi de l'activité volumique pour une probabilité donnée $(1-\gamma)$, en $Bq \cdot m^{-3}$
$c(t)$	Activité volumique mesurée à un instant t , en $Bq \cdot m^{-3}$
$c(t_j), c_j$	Activité volumique mesurée à un instant t_j , en $Bq \cdot m^{-3}$
$c_{ac}(t)$	Activité volumique réelle mesurée à un instant t , en $Bq \cdot m^{-3}$
c_{det}	Activité volumique détectable, en $Bq \cdot m^{-3}$
c_g	Activité volumique d'un mesurage brut, en $Bq \cdot m^{-3}$
c_{mi}	Activité volumique minimale détectable, en $Bq \cdot m^{-3}$
c_{min}^\triangleleft	Limite inférieure de l'intervalle élargi de l'activité volumique minimale détectable pour une probabilité donnée $(1-\gamma)$, en $Bq \cdot m^{-3}$
c_{min}^\triangleright	Limite supérieure de l'intervalle élargi de l'activité volumique minimale détectable pour une probabilité donnée $(1-\gamma)$, en $Bq \cdot m^{-3}$
$c_{0,i}$	Activité volumique du $i^{\text{ème}}$ mesurage d'une série de mesurages bruts (avec $i = 1, \dots, n$) qui représentent une situation de bruit de fond, en $Bq \cdot m^{-3}$
\bar{c}_0	Valeur moyenne de $c_{0,i}$, en $Bq \cdot m^{-3}$
D	Diamètre de la surface de dépôt circulaire vue par la fenêtre du détecteur, en m
K	Paramètre d'alarme de détection correspondant au niveau choisi de taux de fausses alarmes acceptable, sans dimension
k	Quantile d'une loi normale centrée réduite, si $k_{1-\alpha} = k_{1-\beta}$, sans dimension
$k_{1-\alpha}$	Quantile d'une loi normale centrée réduite pour une probabilité $(1-\alpha)$, sans dimension
$k_{1-\beta}$	Quantile d'une loi normale centrée réduite pour une probabilité $(1-\beta)$, sans dimension
$k_{1-\frac{\gamma}{2}}$	Quantile d'une loi normale centrée réduite pour une probabilité $\left(1-\frac{\gamma}{2}\right)$, sans dimension

L	Longueur de la surface de dépôt rectangulaire vue par la fenêtre du détecteur, en considérant une largeur w_D constante, en m
N	Nombre d'atomes sur le support filtrant, sans dimension
$n_g(t, t_c)$	Comptage brut pendant le temps de comptage t_c du support filtrant à un instant t , sans dimension
p_{ST}	Paramètre d'acceptation du test de Student de la régression linéaire, avec un risque de moins de 1 sur 10 000 d'être aberrant, sans dimension
q	Débit, en $m^3 \cdot s^{-1}$
$r_g(t)$	Taux de comptage brut instantané du support filtrant à un instant t , en s^{-1}
$r_g(t, t_c)$	Taux de comptage brut pendant le temps de comptage t_c du support filtrant à un instant t , en s^{-1}
$r_g(t_j, t_c), r_j$	Taux de comptage brut pendant le temps de comptage t_c du support filtrant à un instant t_j , en s^{-1}
r_0	Taux de comptage du bruit de fond, en s^{-1}
s_0	Écart-type de l'activité volumique sur une série de i mesurages qui représentent une situation de bruit de fond
t, t_j	Temps, en année (AAAA)-mois (MM)-jour (JJ) T heure (hh):minute (mm):seconde (ss)
t_C	Temps de comptage, en s
t_F	Durée du rejet dans l'air, en s
t_I	Intervalle de temps, en s
t_R	Temps de réponse, en s
t_{RI}	Temps de réponse intrinsèque, en s
t_T	Temps de transit, en s
t_0	Temps de comptage pour le mesurage du bruit de fond, en s
$t_{1/2}$	Demi-vie, en s
v	Vitesse du filtre déroulant, en $m \cdot s^{-1}$
w	Facteur d'étalonnage, en $Bq \cdot m^{-3} \cdot s$
w_D	Largeur de la surface de dépôt rectangulaire vue par la fenêtre du détecteur, en m
y_1	Mesurage de l'impulsion de comptage au début d'un processus de régression linéaire
δ	Facteur de correction lié au prélèvement (représentativité des points de prélèvement, dépôt d'aérosol dans la ligne de transport, etc.), sans dimension
ε_D	Rendement du détecteur, en $Bq^{-1} \cdot s^{-1}$
λ	Constante de décroissance, en s^{-1}

ITEH STANDARD PREVIEW

(standards.iteh.ai)

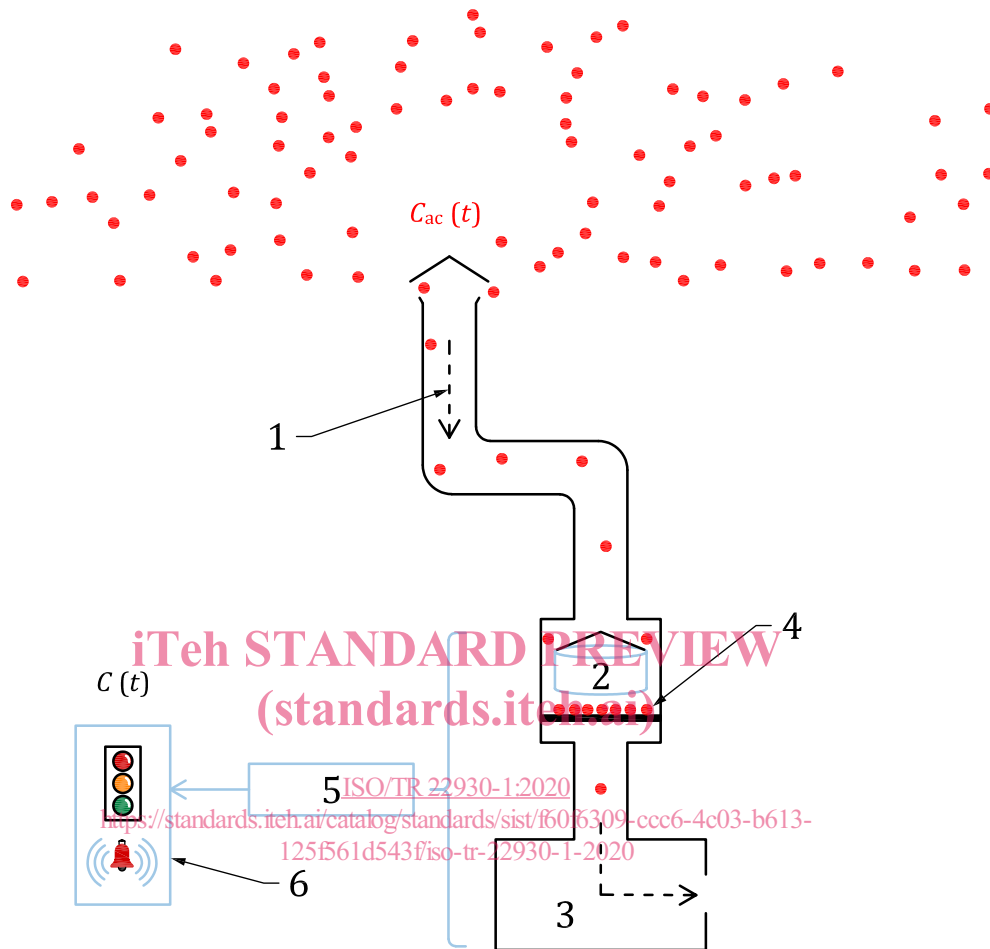
ISO/TR 22930-1:2020

https://standards.iteh.ai/catalog/standards/sist/f60f6309-ccc6-4c03-b613-125f561d543f/iso-tr-22930-1-2020

5 Principe de mesure

Un échantillon représentatif de l'air ambiant à surveiller, contenant une activité réelle $c_{ac}(t)$ à un instant t , est capté en continu via une ligne de transport qui dépose la substance radioactive sur un support filtrant. En parallèle, un détecteur mesure en continu l'activité déposée sur le support filtrant

qui peut être fixe ou déroulant. Un algorithme de traitement calcule ensuite l'activité volumique $c(t)$ et les alarmes appropriées sur la base de l'évolution de l'activité déposée et du volume d'air prélevé. L'algorithme de traitement peut également, si nécessaire, tenir compte des paramètres susceptibles de perturber le résultat de mesure (voir [Figure 1](#)).



Légende

- 1 ligne de transport
- 2 détecteur
- 3 pompe de prélèvement
- 4 support filtrant
- 5 algorithme de traitement
- 6 unité de traitement des alarmes

Figure 1 — Principe du prélèvement et des alarmes

6 Dispositif de surveillance à support filtrant fixe

6.1 Remarque préliminaire

Dans l'[Article 6](#), le terme «support filtrant fixe» désigne tout type de méthode de piégeage fixe d'un contaminant radioactif (par exemple un «filtre» utilisé pour la surveillance des aérosols, une «cartouche au charbon» utilisée pour l'iode, etc.).

6.2 Étude du comportement dynamique

6.2.1 Généralités

Le présent paragraphe décrit l'évolution au fil du temps de l'activité volumique $c(t)$ lors de l'apparition soudaine d'une activité volumique réelle $c_{ac}(t)$. Le comportement dynamique est quantifié par le temps de réponse t_R . Le temps de réponse t_R découle du temps de réponse intrinsèque t_{RI} lié au principe de mesure et à son modèle d'évaluation associé, du retard lié au temps de comptage t_C du mesurage de la radioactivité sur le support filtrant, si nécessaire de l'intervalle de temps t_1 pour calculer l'activité volumique $c(t)$, et également de la durée de l'algorithme de traitement. Cette dernière durée n'est pas prise en compte dans le présent document mais il convient de la garder à l'esprit.

Il est considéré, dans ce qui suit, que l'activité volumique réelle mesurée à un instant t varie dans le temps, par paliers, pendant la durée du rejet dans l'air t_F :

$$c_{ac}(t) = c_{ac} \quad \text{lorsque } 0 \leq t < t_F \quad (1)$$

$$c_{ac}(t) = 0 \quad \text{lorsque } t \geq t_F \quad (2)$$

Les équations différentielles décrivant le nombre d'atomes N du radionucléide déposé sur le support filtrant peuvent être exprimées en fonction de l'activité volumique c_{ac} au point de prélèvement, d'après les formules suivantes:

$$\frac{dN(t)}{dt} = \frac{q \delta c_{ac}}{\lambda} - \lambda N(t) \quad \text{lorsque } 0 \leq t < t_F \quad (3)$$

NOTE 1 Le débit de prélèvement q du dispositif de surveillance est considéré comme constant sur l'intervalle étudié.

ISO/TR 22930-1:2020

et

<https://standards.iteh.ai/catalog/standards/sist/f60f6309-ccc6-4c03-b613-125f561d543f/iso-tr-22930-1-2020>

$$\frac{dN(t)}{dt} = -\lambda N(t) \quad \text{lorsque } t \geq t_F \quad (4)$$

De plus, l'évolution de l'activité sur le filtre est donnée par la [Formule \(5\)](#):

$$a(t) = \lambda N(t) = \frac{r_g(t) - r_0}{\varepsilon_D \delta} \quad (5)$$

NOTE 2 Le rendement du détecteur ε_D est supposé constant, c'est-à-dire qu'à tout instant, l'activité est uniformément répartie à la surface ou dans le volume du support filtrant.

Étant donné que $N(0) = 0$ au début du prélèvement, les solutions des [Équations différentielles \(3\)](#) et [\(4\)](#) sont:

$$r_g(t) - r_0 = \varepsilon_D \delta \lambda N(t) = \frac{\varepsilon_D q \delta c_{ac}}{\lambda} [-e^{-\lambda t}] \quad \text{lorsque } 0 \leq t < t_F \quad (6)$$

$$r_g(t) - r_0 = \varepsilon_D \delta \lambda N(t) = \frac{\varepsilon_D q \delta c_{ac}}{\lambda} [1 - e^{-\lambda t_F}] e^{-\lambda(t-t_F)} \quad \text{lorsque } t \geq t_F \quad (7)$$

6.2.2 Modèle d'évaluation de l'activité volumique pour les demi-vies courtes

En partant des [Formules \(5\)](#), [\(6\)](#) et [\(7\)](#), le modèle d'évaluation de l'activité volumique peut être exprimé sous la forme:

$$c(t) = \frac{\lambda}{\varepsilon_D q \delta} [r_g(t) - r_0] \quad (8)$$

avec

$$c(t) = c_{ac} [1 - e^{-\lambda t}] \quad \text{lorsque } 0 \leq t < t_F \quad (9)$$

$$c(t) = c_{ac} [1 - e^{-\lambda t_F}] e^{-\lambda(t-t_F)} \quad \text{lorsque } t \geq t_F \quad (10)$$

Le [Tableau 1](#) indique l'évolution du rapport de l'activité volumique et de l'activité réelle d'après la [Formule \(9\)](#) en considérant un rejet de durée infinie ($t_F \rightarrow \infty$), avec:

$$\frac{c(t)}{c_{ac}(t)} = \frac{r_g(t) - r_0}{r_g(t \rightarrow \infty) - r_0}$$

Tableau 1 — Évolution du rapport de l'activité volumique mesurée et de l'activité réelle d'après la [Formule \(9\)](#)

Rapport %	Temps s
0	$\frac{0,69}{\lambda}$ (~1 demi-vie)
50	$\frac{2,3}{\lambda}$ (~3 demi-vies)
95	$\frac{3}{\lambda}$ (~4 demi-vies)
99	$\frac{4,61}{\lambda}$ (~7 demi-vies)
99,5	$\frac{6,91}{\lambda}$ (~10 demi-vies)

Le [Tableau 1](#) montre que, d'après la [Formule \(9\)](#), le temps de réponse intrinsèque t_{RI} est approximativement égal à 3 fois la valeur de demi-vie du radionucléide considéré.

Le modèle d'évaluation de l'activité volumique donné par les [Formules \(9\)](#) et [\(10\)](#) convient donc uniquement aux radionucléides à demi-vie courte de quelques minutes, sinon les temps de réponse intrinsèque et les taux de comptage associés sont trop élevés pour être exploitables dans la pratique. Les évolutions dans le temps de l'activité volumique définie dans les [Formules \(9\)](#) et [\(10\)](#) supposent que le taux de comptage brut $r_g(t)$ est instantané, ce qui signifie que:

$$r_g(t) = \lim_{t_C \rightarrow 0} \left[\frac{n_g(t, t_C)}{t_C} \right]$$

Ceci implique que $r_g(t)$ ne dépend pas du temps de comptage t_C . En réalité, tout mesurage est associé à un temps de comptage t_C et il en découle alors les formules suivantes:

$$r_g(t, t_C) - r_0 = \frac{1}{t_C} \int_0^t [r_g(t) - r_0] dt \quad \text{lorsque } 0 \leq t < t_C \quad (11)$$